

## 混合砂礫床上の河床波と抵抗特性に関する研究

鳥取県立

正 哲・小金 誠一

鳥取大学工学部

正 哲 鈴木 幸一

"

"

道上 正煥

1. はじめに 移動床河川において、移動床の船底を予測する目的には、(i)水深と流量の關係を明らかにすること、(ii)流砂量を求めるために必要な有効掃流力を求めること、の2つに集約される。本研究では、(i)および奥河川が混合砂礫で構成されていきことと急峻にあり、実験水路を用いて、均一砂床および混合砂床上に、河床波の一端である砂堆を発生させ、その特性について河床の流体抵抗特性を実験的に明らかにしようとするものである。

2. 実験の概要 用いた実験水路は、上流端に毎秒0から $0.278 \text{ cm}^3/\text{sec} \cdot \text{cm}$ の間で往復に一定量の給砂が可能なエレベーター式給砂装置を有する全長20m、幅50cm、高さ50cmの長方形断面の水路であり、河床高の縦断形状は水路上を一定速度で自走する台車に載った河床面自動測定装置によって連続的に計測記録される。実験方法は、水路全体に10cm厚に砂層を均一に敷き、一定流量・一定給砂量のもとに、水面勾配と河床勾配・給砂量と流砂量のどちらも漸しくなる定常状態が得られるまで通水を続ける。この状態が得られた後に、水面形状および河床高の縦断形状を測定した。

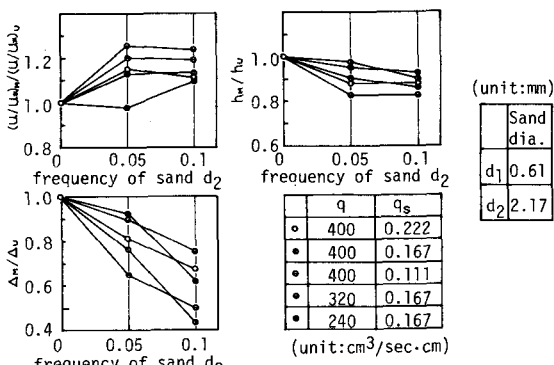


図-1 混合砂の効果

3. 混合砂および水路幅の河床波特性に対する影響 均一砂の定常状態の河床の供給砂に粒径の大きな砂を、流量および給砂量を一定にしたまま5%および10%投入すると、図-1にみられるように河床波高が減少すなわち抵抗が減少しエネルギー勾配が減少しこうすることが認められる。この図の横軸は細砂の河床に占める割合であり、縦軸の添字Mは粗砂投入前のもの、添字Rは粗砂投入後のものを表している。この図によれば粗砂を5%投入しただけでも10%から40%の波高の遮蔽が認められ、混合砂の河床波高に及ぼす影響が著しいことが認められる。これは河床波の谷部がさらに洗掘され波高が大きくなる傾向が、図-2にみられるように谷部の粗粒化により抑えられているためと考えられる。これは粗砂が峰を飛び越えて下流へ移動するのに対し、細砂は峰をこきこり落ち掃除力の最も小さな谷部で止まってしまうためである。



図-2 河床波概略図

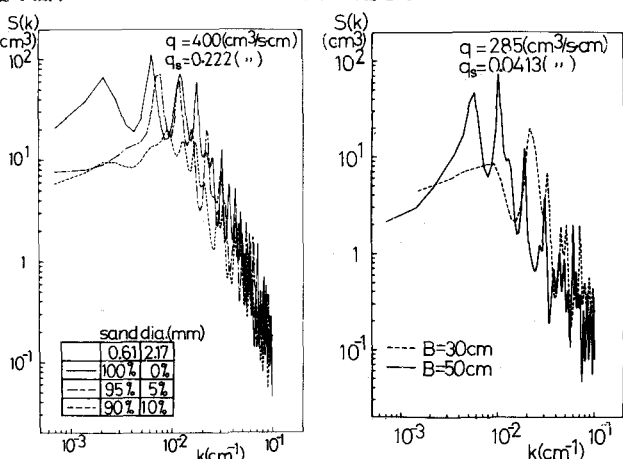


図-3 混合比による比較

図-4 水路幅による比較

以上のことにより、各付近での兼体の揚飛力の評価をどうするかという難しい問題はあるが、混合砂床上における河床波高の過渡現象が理論的に説明できる可能性があると言える。

すなはち、均一砂床と混合砂床との河床波の波数スペクトル特性を比較したものが図-3である。この図によれば、粗砂投入量が多くなるほど、低波数域では明らかにスペクトル密度が増減していることが認められる。これは、低波数域における河床波高が小さくなることを意味し、上述の結果と一致している。また図-4は、水路幅の相違による波数スペクトル特性を比較したものである。この図によれば、水路幅50cmのものに対しては河床波の平均波長の逆数である平均波数に対してスペクトルのピークはあるが、それより低波数域では洲の影響と思われる最大ピークが現われてあり、村本・藤田<sup>1)</sup>の実験によれば洲の平均波長 $l_B = 50\text{cm}$ で $l_B = 100\text{cm}$ となり、波数スペクトル特性と一致している。また $B = 30\text{cm}$ のものに対しては、 $l_B = 60\text{cm}$ であり、河床波平均波長とほぼ等しいため、スペクトルが鏡像ピークとして現われたのではないかと考えられる。

4. 河床波の抵抗則に関する考察 移動床流れにおいては、流れと床面境界の間の相互作用により河床波が形成され、その形状の影響により起こる後流のため、エネルギーが損失され、流水に対する抵抗が大きくなる。<sup>2)</sup>河床波状態を表す物理量である波高の標準偏差 $\sigma$ と開水路流れの平均流速 $U/U_* = 6.0 + 5.75 \log(R/k_s)$  ( $U$ : 平均流速,  $U_*$ : 磨擦速度,  $R$ : 径深) より得られる相当粗度 $k_s$ とは強い相關がある<sup>2)</sup>が、 $\sigma$ を考えると河床波長が短く波形勾配が小さい場合と、波長が短く波形勾配が大きい場合で $\sigma$ が著しくなる場合があるため、 $\sigma$ と $k_s$ の関係が波形勾配 $\Delta/\Lambda$  ( $\Delta$ : 平均河床波高,  $\Lambda$ : 平均河床波長) に依存していると考え、 $k_s/\sigma$ と $\Delta/\Lambda$ の関係を示したものが図-5である。実験的に式(1)の関係が見い出せる。

$$k_s/\sigma = 6.0 \times 10^6 \cdot (\Delta/\Lambda)^{4.0} \quad (1)$$

一方、構のように $k_s/\sigma$ の値を $\Delta/\Lambda$ の関係によることを試したものが図-6である。この図によれば、バラツキは大きいが、平均的におこせば、図中の破線の傾向にあることが認められる。

つぎに、抵抗特性に関する混合砂および水路幅の相違による効果をみるために、横軸に無次元有効揚飛力 $*e_e$ 、縦軸に平均流速と磨擦速度の比 $U/U_*$  ( $= \sqrt{g/f}$ ,  $f$ : 抵抗係数) をとったものが図-7である。本実験に関する限り、均一砂は比較的よくまとまっているが、混合砂はバラツキが大きく均一砂に比べ抵抗が小さくなっている。また水路幅が50cmの方が30cmに比べ抵抗が小さくなる傾向にあることが認められる。以上のことは3.で述べた結果と一致するものであり、抵抗特性を表す混合砂の特性に関する量として必ずしも平均粒径のみを用いて表されるものではないことを示すものである。

5. おわりに 本研究では、抵抗則に適して河床波を平均的に取り扱って考察したが、今後は統計量に着目した考察が必要と考える。

参考文献 1) 村本嘉雄・藤田裕一郎：中規模河床形態の分類と形成条件、

土木学会第22回水理講演会論文集, 1978, pp. 275~282.

2) 芦田和夫・田中祐一郎：砂灘に関する実験的研究(3),

京都大学防災研究所年報 10号B, 1967, pp. 121~130.

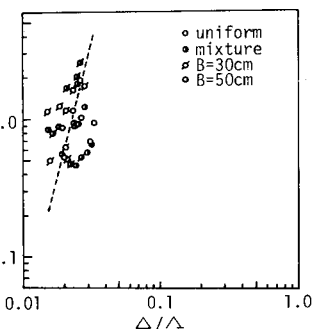


図-5  $k_s/\sigma$  と  $\Delta/\Lambda$  の関係

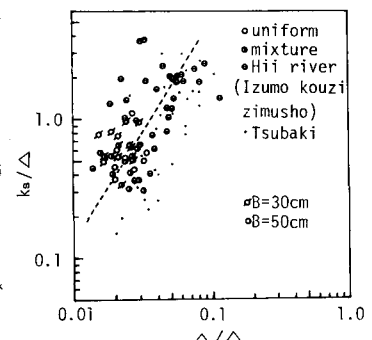


図-6  $k_s/\sigma$  と  $\Delta/\Lambda$  の関係

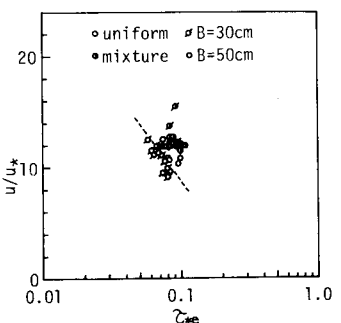


図-7  $U/U_*$  と  $*e_e$  の関係